

การประเมินปริมาณการปล่อยคาร์บอนจากการขนส่งสินค้าทางถนน: กรณีศึกษาท่าเรือแหลมฉบัง

Carbon Emission Assessment from Road Freight Transport A Case Study of Laem Chabang Port

ณัฐชนน คงแก้ว¹ ณัฐสิทธิ์ สนธิพันธ์ศักดิ์² และ อาจารย์พงษ์สันธ์ บันกิตสกุลชัย³

^{1,2,3} ภาควิชาภาร্যศวกรรัมภ์โยธา คณะวิศวกรรมศาสตร์ จุฬาลงกรณ์มหาวิทยาลัย

บทคัดย่อ

การขนส่งสินค้าทางถนนในประเทศไทย โดยเฉพาะระหว่างนิคมอุตสาหกรรมกับท่าเรือแหลมฉบัง มีบทบาทสำคัญต่อระบบโลจิสติกส์ แต่ขณะเดียวกันก็เป็นแหล่งกำเนิดก๊าซเรือนกระจกที่สำคัญ งานวิจัยนี้มีวัตถุประสงค์เพื่อศึกษารูปแบบการเดินทางของรถบรรทุก ด้วยข้อมูล GPS และวิเคราะห์ความเป็นไปได้ในการลดcarbon footprint โดยการส่งเสริมเส้นทางที่มีประสิทธิภาพและตรงตามมาตรฐานมากขึ้น ข้อมูลที่ใช้ได้มาจากระบบติดตาม GPS ของรถบรรทุกสิบล้อ ที่วิ่งระหว่างนิคมอุตสาหกรรมกับท่าเรือแหลมฉบัง โดยนำมาวิเคราะห์เส้นทางจริง และประเมินปริมาณการปล่อยก๊าซ CO₂ ด้วยค่าcarban footprint จากแหล่งข้อมูลที่มีอยู่ ผลการศึกษาแสดงให้เห็นว่ามีเส้นทางจำนวนหนึ่งที่มีแนวโน้มจะช่วยลดการปล่อย CO₂ ได้ หากมีการส่งเสริมให้ใช้จริงในเชิงนโยบาย พร้อมทั้งเสนอแนวทางประยุกต์ใช้ข้อมูล GPS เพื่อการตัดสินใจเชิงกลยุทธ์ด้านการขนส่งอย่างยั่งยืน

คำสำคัญ: การลดการปล่อยก๊าซคาร์บอนไดออกไซด์, การวิเคราะห์ข้อมูล GPS, การลดผลกระทบจากการขนส่ง, ท่าเรือแหลมฉบัง, เส้นทางโลจิสติกส์

Abstract

Road freight transport in Thailand, especially between industrial estates and Laem Chabang Port, plays a vital role in the logistics system while being a significant source of greenhouse gas emissions. This study aims to examine truck travel patterns using GPS data and assess the potential for carbon footprint reduction by promoting more efficient and standardized routes. GPS tracking data from ten-wheel trucks traveling between industrial estates and Laem Chabang Port was analyzed and compared with recommended routes. The carbon dioxide emissions were estimated using secondary emission factors. The findings indicate that certain actual routes, if widely adopted, could help reduce CO₂ emissions. The study also proposes practical strategies to integrate GPS data into transport decision-making for sustainable logistics planning.

Keywords: Carbon Emission Reduction, GPS Data Analysis, Transportation Impact Mitigation, Laem Chabang Port, Logistics Route Optimization

1 บทนำ

การปล่อยก๊าซเรือนกระจก (Greenhouse Gas: GHG) โดยเฉพาะ คาร์บอนไดออกไซด์ (CO_2) จากการใช้พลังงาน ยังคงเป็นหนึ่งในปัจจัยสำคัญที่ส่งผลต่อภาวะโลกร้อนและการเปลี่ยนแปลงสภาพภูมิอากาศ โดยในปี 2023 การปล่อย CO_2 ทั่วโลกจากการใช้เชื้อเพลิงฟอสซิลพุ่งแตะระดับสูงสุดที่ร้าว 37.4 พันล้านตัน แม้ว่าการใช้พลังงานสะอาดจะขยายตัว แต่ความต้องการพลังงานที่เพิ่มขึ้นอย่างต่อเนื่องก็ยังผลักดันให้การปล่อยก๊าซเรือนกระจกเพิ่มขึ้น

ในระดับสากล หลายประเทศได้กำหนดเป้าหมายในการลดการปล่อยก๊าชผ่านข้อตกลงปารีส เพื่อควบคุมอุณหภูมิโลกไม่ให้เพิ่มเกิน 1.5 องศาเซลเซียสเมื่อเทียบกับยุคก่อนอุตสาหกรรม ซึ่งเป้าหมายดังกล่าวจำเป็นต้องได้รับความร่วมมือจากทุกภาคส่วน รวมถึงภาครัฐ ที่ต้องดำเนินการลดการปล่อยก๊าชเรือนกระจกเพิ่มขึ้น

สำหรับประเทศไทย ภาคการขนส่งเป็นแหล่งปล่อยคาร์บอนไดออกไซด์สูงถึง 34% ของการปล่อยทั้งหมด โดยเฉพาะระบบขนส่งทางถนนที่มีการพึ่งพาบรรทุกเป็นหลัก ซึ่งมีอัตราการปล่อยคาร์บอนต่อระยะทางสูงกว่าระบบขนส่งประเภทอื่นอย่างชัดเจน การลดการปล่อยคาร์บอนจากการขนส่งทางถนนจึงถือเป็นแนวทางสำคัญในการขับเคลื่อนประเทศไทยสู่เป้าหมายด้านสิ่งแวดล้อมอย่างยั่งยืน

แม้งานวิจัยที่ผ่านมาจะมีการประเมินการปล่อยคาร์บอนจากระบบขนส่งในภาพรวม แต่ยังขาดการวิเคราะห์เชิงลึกในระดับเส้นทางจริงที่ใช้ข้อมูล GPS จากการเดินรถจริงของรถบรรทุก ซึ่งจะช่วยให้สามารถประเมินค่ากิโลเมตรการลดการปล่อยของแต่ละเส้นทางได้อย่างแม่นยำและมีประสิทธิภาพมากขึ้น

บทความลับนี้จึงมีวัตถุประสงค์เพื่อวิเคราะห์เส้นทางการเดินรถบรรทุกที่ให้บริการขนส่งสินค้าไปยังท่าเรือแหลมฉบัง โดยใช้ข้อมูล GPS ที่ได้จากการเดินรถจริง ร่วมกับการประเมินปริมาณการปล่อย CO_2 บนแต่ละเส้นทาง เพื่อค้นหา “เส้นทางสีเขียว” ที่ปล่อยคาร์บอนต่ำที่สุดในแต่ละคู่ถนนทาง-ปลายทาง (OD pair) ผลการวิเคราะห์นี้ไม่เพียงนำเสนอภาพรวมของพฤติกรรมการเดินทางของรถบรรทุกในพื้นที่ศึกษา แต่ยังสามารถใช้สนับสนุนการวางแผนและนโยบายด้านโลจิสติกส์ การเลือกเส้นทางที่เป็นมิตรต่อสิ่งแวดล้อม และการส่งเสริมการเปลี่ยนผ่านสู่ระบบขนส่งที่ปล่อยคาร์บอนน้อยกว่าในอนาคต

2 การทบทวนวรรณกรรม

2.1 แผนและนโยบายภาครัฐ

เพื่อสนับสนุนการศึกษานี้ จำเป็นต้องทบทวนแผนและนโยบายที่เกี่ยวข้องกับการพัฒนาระบบขนส่งทางรางและการลดการปล่อยก๊าชเรือนกระจกในประเทศไทย ซึ่งมีดังนี้

2.1.1 ยุทธศาสตร์ชาติ 20 ปี (พ.ศ. 2561 – 2580)

มุ่งพัฒนาระบบขนส่งที่มีประสิทธิภาพ ลดต้นทุนโลจิสติกส์ และลดผลกระทบต่อสิ่งแวดล้อม โดยตั้งเป้าเพิ่มการขนส่งสินค้าทางรางจาก 2.5% เป็น 7% ภายในปี 2580 และลดการปล่อยก๊าชเรือนกระจกจากภาคขนส่ง

2.1.2 แผนพัฒนาเศรษฐกิจและสังคมแห่งชาติ ฉบับที่ 13

ส่งเสริมเศรษฐกิจการบอนต่อ โดยเน้นการเปลี่ยนรูปแบบการขนส่งจากถนนเป็นทาง เนื่องเพิ่มประสิทธิภาพ ลดต้นทุน และผลกระทบต่อสิ่งแวดล้อม โดยเฉพาะในพื้นที่ EEC และท่าเรือแหลมฉบัง

2.1.3 แผนปฏิบัติการลดก๊าชเรือนกระจกของประเทศไทย ตั้งเป้าลดก๊าชเรือนกระจก 20–25% ภายในปี 2573 โดยการบันส่งทางร่างเป็นมาตรการสำคัญ ซึ่งสามารถลดการปล่อยคาร์บอนได้มากกว่า 60% เมื่อเทียบกับระดับโลก

2.1.4 แผนพัฒนาการขนส่งระบบราง

ตั้งเป้าเพิ่มสัดส่วนการขนส่งสินค้าทางรางจาก 2% เป็น 5% ภายในปี 2570 โดยเชื่อมต่อโครงข่ายรางกับท่าเรือแหลมฉบัง เพื่อสร้างระบบขนส่งที่ยั่งยืนและลดผลกระทบทางสิ่งแวดล้อม

2.1.5 โครงการพัฒนาท่าเรือแหลมฉบัง ระยะที่ 3

เป็นโครงการสำคัญในพื้นที่ EEC ที่เน้นพัฒนาโครงข่ายรางเชื่อมท่าเรือเพื่อรับปริมาณการขนส่งที่เพิ่มขึ้น ลดการพึ่งพาถนน และลดผลกระทบต่อชุมชนโดยรอบ

2.2 ทฤษฎีที่เกี่ยวข้องภายในงานวิจัย

2.2.1 Machine Learning

Machine Learning (ML) คือ การประยุกต์คณิตศาสตร์และวิทยาศาสตร์คอมพิวเตอร์เพื่อทำให้คอมพิวเตอร์ สามารถเรียนรู้สิ่งต่างๆ ตัดสินใจได้โดยไม่ต้องกำหนดกฎและเงื่อนไขตายตัว และประมวลผลข้อมูลนั้นเพื่อให้สามารถตัดสินใจตามที่ต้องการ โดยการตัดสินใจที่ ML ทำได้แม่เหล็กรูปแบบดังนี้

1. Supervised Learning (การเรียนรู้แบบมีการควบคุม)

แบบจำลองเรียนรู้จากข้อมูลที่มีการควบคุมหรือป้ายกำกับ เช่น การนำมายอดขายในอนาคตจากข้อมูลในอดีตจำแนกประเภทของอีเมล ว่าเป็นสแปมหรือไม่

2. Unsupervised Learning (การเรียนรู้แบบไม่มีการควบคุม)

แบบจำลองเรียนรู้จากข้อมูลที่ไม่มีการควบคุมหรือป้ายกำกับ เช่น การจัดกลุ่มลูกค้าที่คล้ายคลึงกันตามพฤติกรรมการซื้อของพวกราย การค้นหากลุ่มที่ทำให้จากข้อมูลส่วนใหญ่

3. Reinforcement Learning (การเรียนรู้แบบเรียนรู้ตัวเอง):

แบบจำลองเรียนรู้ด้วยการทดลองและรับรู้จาก สิ่งแวดล้อมโดยได้รับรางวัลหรือlob ล้ำค่าโดยรวมของภาระทำ เช่น การสอนหุ่นยนต์ทำการเดินโดยให้ได้รับรางวัลเมื่อเดินถึงจุดหมาย Machine learning ใช้ทฤษฎีและเทคโนโลยีจากคณิตศาสตร์และสถิติเพื่อให้แบบจำลองสามารถเรียนรู้และทำงานผลได้อย่างแม่นยำมากขึ้น โดยมีเครื่องมือที่ใช้ในการพัฒนาและประยุกต์ใช้ machine learning ได้แก่ Python (กับไลบรารี Scikit-learn, TensorFlowKeras), R (กับไลบรารี Caret, MLR), Weka, RapidMiner ฯลฯ

2.2.2 K-means Clustering

K-means Clustering เป็นอัลกอริธึมการจัดกลุ่ม (Clustering Algorithm) ที่ใช้หลักการแบ่งข้อมูลออกเป็นกลุ่มย่อยๆ โดยอิงจากความใกล้เคียงกันของข้อมูลในเชิงระยะทาง จุดศูนย์กลางของแต่ละกลุ่ม (Centroid) จะถูกคำนวณขึ้นและปรับเปลี่ยนซ้ำๆ เพื่อให้ข้อมูลในแต่ละกลุ่มมีความคล้ายคลึงกันสูงที่สุดภายใต้เกณฑ์

กระบวนการเริ่มจากการกำหนดจำนวนกลุ่มที่ต้องการ (k) และเลือกจุดศูนย์กลางเริ่มต้นแบบสุ่ม จากนั้นข้อมูลแต่ละจุดจะถูกจัด

เข้ากลุ่มที่มีระยะใกล้กับจุดศูนย์กลางมากที่สุด และทำการคำนวณจุดศูนย์กลางใหม่ซึ่งไปจนกว่าระบบจะนิ่ง

ข้อดีของ K-means คือ ทำงานได้เร็วและง่าย ใช้กับข้อมูลขนาดใหญ่ได้ดี ข้อเสีย คือ ต้องกำหนดจำนวนกลุ่มล่วงหน้า และอาจได้ผลลัพธ์ที่ไม่ถูกต้องหากข้อมูลไม่กระจายตัวหรือมี outlier จำนวนมาก

2.2.3 Jaccard Similarity

Jaccard Similarity เป็นวิธีการวัดความคล้ายคลึงกันระหว่างชุดข้อมูล 2 ชุด โดยพิจารณาจากอัตราส่วนของจำนวนสมาชิกที่ตรงกัน (Intersection) เทียบกับจำนวนสมาชิกทั้งหมดที่ปรากฏในทั้งสองชุดรวมกัน (Union) ดังสมการที่ (1)

$$J(A, B) = \frac{|A \cap B|}{|A \cup B|} \quad (1)$$

ถ้า A และ B มีสมาชิกเหมือนกันทั้งหมด ค่า Jaccard จะเท่ากับ 1 แต่ถ้าไม่มีสมาชิกที่ตรงกันเลย ค่า Jaccard จะเป็น 0 ข้อดีของวิธีนี้ คือสามารถใช้เปรียบเทียบชุดข้อมูลที่เป็นประเภท binary, tag หรือกลุ่มคำได้ดี เหมาะกับการวิเคราะห์ความคล้ายคลึงของคำ, เอกสาร หรือกลุ่มพฤติกรรมต่างๆ กลุ่มคำได้ดี

2.2.4 การประเมินประสิทธิภาพ

การประเมินประสิทธิภาพของแบบจำลองที่ไม่ใช้ตัวแปรเป้าหมาย (Unsupervised Learning) เช่นการจัดกลุ่ม (Clustering) หรือการลดมิติ (Dimensionality Reduction) มักใช้วิธีการที่ต่างจาก การเรียนรู้แบบมีผู้สอน เนื่องจากไม่มี “คำตอบที่ถูกต้อง” ให้เปรียบเทียบโดยตรง สำหรับการจัดกลุ่มข้อมูล (Clustering) เช่น K-Means หรือ DBSCAN นิยมใช้ตัวชี้วัดดังต่อไปนี้:

Inertia: คือผลรวมของระยะห่างระหว่างจุดข้อมูลแต่ละจุดกับ centroid ของกลุ่มที่มันอยู่ ยิ่งค่า Inertia ต่ำ แสดงว่าจุดข้อมูลอยู่ใกล้ centroid มาก แปลว่าการจัดกลุ่มนี้มีความกระชับดี อย่างไรก็ตาม ค่า Inertia มักลดลงเมื่อจำนวนกลุ่มเพิ่มขึ้น จึงควรใช้วิธีกับ Elbow Method เพื่อเลือกจำนวนกลุ่มที่เหมาะสม

Silhouette Score: ค่านี้วัดความเหมาะสมของแต่ละจุดข้อมูล กับกลุ่มที่มันถูกจัดไว้ โดยเปรียบเทียบกับกลุ่มที่ใกล้เคียงที่สุด ค่าอยู่ระหว่าง -1 ถึง 1 ยิ่งใกล้ 1 ยิ่งดี แสดงว่าการจัดกลุ่มชัดเจน

Jaccard Similarity: ใช้ในกรณีที่มีข้อมูลกลุ่มจริง (Ground Truth) โดยวัดความคล้ายคลึงของกลุ่มที่ได้จากการจัดกลุ่มกับกลุ่มจริง ค่ายิ่งใกล้ 1 แสดงว่าการจัดกลุ่มนี้มีความแม่นยำ

ข้อดีของการประเมินแบบนี้คือสามารถวิเคราะห์ประสิทธิภาพของแบบจำลองในกรณีที่ไม่มีฉลากข้อมูลได้อย่างมีระบบ ข้อเสียคือ บางตัวชี้วัดอาจให้ค่าที่เข้าใจยาก และต้องพิจารณาควบคู่กับบริบทของข้อมูล

3 กระบวนการและขั้นตอนการดำเนินงานวิจัย

3.1 รูปแบบของงานวิจัย

งานวิจัยนี้เป็นการศึกษาเชิงประยุกต์ที่มุ่งเน้นการวิเคราะห์ข้อมูลการติดตามตำแหน่งของรถบรรทุก (GPS Tracking) เพื่อประเมินผลกระทบด้านสิ่งแวดล้อม โดยเฉพาะในแง่ของการลดการปล่อย

คาร์บอนจากกระบวนการส่งสินค้าทางถนน (Freight Transportation)

กระบวนการศึกษาประกอบด้วยการนำเข้าข้อมูล GPS และข้อมูลถนน เพื่อวิเคราะห์รูปแบบการเดินทางและพัฒนาระบบการใช้งาน เส้นทางของรถบรรทุกในพื้นที่ศึกษา โดยอาศัยเทคนิคการเรียนรู้ของเครื่อง (Machine Learning) เช่น การจัดกลุ่มข้อมูลด้วย K-means และการวัดความคล้ายคลึงของชุดข้อมูลด้วย Jaccard Similarity เพื่อจำแนกเส้นทางที่มีลักษณะการใช้งานที่คล้ายกัน

ผลลัพธ์ที่ได้จากการจัดกลุ่มและวิเคราะห์เส้นทางจะถูกนำมาใช้ในการประเมินการใช้พลังงานและการปล่อยคาร์บอน โดยพิจารณาจากระยะทางที่ใช้ ความถี่ของการเดินทาง และความหนาแน่นของยานพาหนะในแต่ละเส้นทาง ซึ่งจะนำไปสู่การเสนอแนวทางการลดผลกระทบทางสิ่งแวดล้อมจากการขนส่งได้อย่างมีประสิทธิภาพ

3.2 การจัดเตรียมและทำความสะอาดข้อมูล

เพื่อเตรียมข้อมูลสำหรับการสร้างแบบจำลองพัฒนาระบบการขนส่งสินค้าด้วยรถบรรทุก งานวิจัยนี้ได้ดำเนินการวิเคราะห์ข้อมูลเบื้องต้น (Exploratory Data Analysis: EDA) โดยมีวัตถุประสงค์เพื่อทำความเข้าใจลักษณะทั่วไปของข้อมูล ตรวจสอบความถูกต้อง และปรับปรุงโครงสร้างข้อมูลให้อยู่ในรูปแบบที่เหมาะสมต่อการวิเคราะห์ ในขั้นตอนถัดไป โดยดำเนินการตามขั้นตอนดังนี้การตรวจสอบโครงสร้างข้อมูล

ทำการตรวจสอบประเภทและขอบเขตของข้อมูลในแต่ละพิลด์ ของข้อมูลแต่ละชุดโดยข้อมูลแต่ละชุดประกอบด้วย

ตารางที่ 1 ข้อมูลชุดที่ 1 GPS Data

Field Name	Data Type	คำอธิบาย
unit_id	String	หมายเลขประจำรถบรรทุก
time_stamp	Datetime	เวลาที่บันทึกข้อมูลในรูปแบบ UTC
lat	Float	ละติจูด
lon	Float	ลองจิจูด
speed	Float	ความเร็วของรถ (กิโลเมตรต่อชั่วโมง)
unit_type	Float	ประเภทของรถ

ตารางที่ 2 ข้อมูลชุดที่ 2 Road_Hierarchy

Field Name	Data Type	คำอธิบาย
id	integer	คีย์หลัก
section_id	integer	รหัสตอนควบคุม
road_id	integer	รหัสทางหลวง
road_code	character	หมายเลขทางหลวง
control	character	ตอนควบคุม
control_name	character	ชื่อตอนควบคุม
the_geom	geometry	Geometryของถนน

3.2.1 การจัดการค่าที่ขาดหาย (Missing Values)

ดำเนินการตรวจสอบค่าที่ขาดหายในตัวแปรสำคัญ ได้แก่ unit_id, time_stamp, lat, lon และ speed โดยใช้เกณฑ์ดังนี้:

กรณีที่ time_stamp, lat หรือ lon ว่างเปล่า จะตัดrecord นั้นออกทันที เนื่องจากไม่สามารถระบุตำแหน่งหรือเวลาได้ หาก speed ขาดหาย ในจำนวนไม่มาก จะลบทิ้ง แต่หากพบในบริมาณ

มากในรถคันใด อาจพิจารณาการประมาณค่า (imputation) หรือเติมเป็น 0 หากสอดคล้องกับพฤติกรรมรถหยุดนิ่ง

3.2.2 การจัดการค่าผิดปกติ (Outlier Detection and Filtering)

ตรวจสอบและกรองค่าผิดปกติที่อาจเกิดจากปัญหาทางเทคนิค เช่น สัญญาณ GPS ผิดเพี้ยน หรือค่าความเร็วผิดปกติ โดยใช้เกณฑ์ดังนี้:

(a) ความเร็ว (Speed): กำหนดช่วงค่าที่สมเหตุสมผลไว้ที่ 0–120 กม./ชม. ค่าที่สูงเกินหรือมีค่าน้อยกว่าค่าเฉลี่ยจะถูกลบ เว้นแต่พิสูจน์ได้ว่าอยู่ในช่วงหยุดรถ

(b) ตำแหน่งพิกัด (Latitude / Longitude): ละติจูดที่อยู่นอกช่วง 0–25 องศา และลองจิจูดนอกช่วง 97–106 องศา จะถูกตัดออก

(c) เวลา (Timestamp): ตรวจสอบและลบค่าที่ซ้ำซ้อนหรือไม่เรียงลำดับ เพื่อรักษาความถูกต้องเชิงเวลา

3.2.3 การจัดการข้อมูลซ้ำซ้อน (Duplicate Records)

ดำเนินการตรวจสอบข้อมูลที่ซ้ำแบบสมบูรณ์ (exact duplicates) โดยเฉพาะฟิลด์ unit_id, time_stamp, lat, lon, speed ซึ่งอาจเกิดจากการส่งข้อมูลซ้ำจากอุปกรณ์ GPS เรคคอร์ดที่ซ้ำจะถูกลบออก

3.3 การระบุจุด เริ่มต้น และ จุดสิ้นสุด (OD identification)

3.3.1 การเตรียมข้อมูลพื้นฐาน

ข้อมูล GPS ถูกจัดเก็บในตาราง TruckGPSData ซึ่งประกอบด้วยหมายเลขรถ (unit_id), เวลาที่บันทึก (timestamp), พิกัดละติจูด และลองจิจูด (lat/lon) และความเร็ว (speed) ในขณะเดียวกัน ข้อมูลตำแหน่งของนิคมอุตสาหกรรมถูกจัดเก็บในตาราง IndustrialZones ซึ่งมีข้อมูลเชิงพื้นที่ จังหวัด และรูปทรงของเขต (geometry) เพื่อใช้ในการวิเคราะห์เชิงพื้นที่

3.3.2 การคัดกรองข้อมูลพื้นที่ศึกษา

ทำการคัดเลือกเฉพาะรถบรรทุกที่มีการเดลิเวอรี่ที่เข้า-ออกจากเขตนิคมอุตสาหกรรมเป้าหมาย และมีการเดินทางไปยังท่าเรือแหลมฉบังอย่างน้อยหนึ่งครั้ง โดยใช้ฟังก์ชัน STIntersects() กับข้อมูลเชิงพื้นที่ของนิคมอุตสาหกรรมและท่าเรือ เพื่อกำหนดตำแหน่ง zone_name และ zone_type สำหรับแต่ละตำแหน่ง GPS

3.3.3 การจัดกลุ่มตามช่วงเวลาในพื้นที่เดียวกัน (Zone Grouping)

จากตำแหน่งที่อยู่ภายในพื้นที่เดียวกัน ให้จัดพื้นที่หนึ่งระบบจะจัดกลุ่มข้อมูลตามลำดับเวลาที่ต่อเนื่องในพื้นที่เดียวกัน โดยใช้ฟังก์ชัน LAG() เพื่อตรวจสอบการเปลี่ยนพื้นที่ และสร้าง group_id ด้วยการสะสมค่าด้วยฟังก์ชัน SUM() สำหรับแต่ละกลุ่ม จับทีกเวลาที่เริ่มต้นและสิ้นสุดของการอยู่ในพื้นที่นั้น

3.3.4 การจับคู่ต้นทาง-ปลายทาง (OD Pairing)

OD Trip จะถูกสร้างจากการจับคู่การเปลี่ยนผ่านระหว่างนิคมอุตสาหกรรมและท่าเรือ โดยพิจารณาลำดับของ group_id สำหรับแต่ละ unit_id เพื่อจัดกลุ่มเป็นเที่ยวเดินทาง และกำหนด trip_id พร้อมช่วงเวลาเริ่มต้นและสิ้นสุดของแต่ละเที่ยว

3.3.5 การตึงข้อมูล GPS ตามช่วงเวลาการเดินทาง

สำหรับแต่ละเที่ยวที่ได้จากขั้นตอนจับคู่ OD จะตึงข้อมูล GPS ในช่วงเวลาเริ่มต้นสิ้นสุดของ trip_id เพื่อนำไปใช้วิเคราะห์เส้นทางเดินรถ ระยะทาง เวลาในการเดินทาง และประเมินการปล่อย CO₂ ของแต่ละเที่ยวได้อย่างละเอียด

กระบวนการทั้งหมดนี้ช่วยให้สามารถระบุเส้นทางการเดินทางระหว่างนิคมอุตสาหกรรมและท่าเรือแหลมฉบังได้อย่างแม่นยำในระดับเที่ยวเดินทาง ช่วยวางแผนการเดินทางที่มีประสิทธิภาพและลดเวลาเดินทาง ลดต้นทุนและลดผลกระทบต่อสิ่งแวดล้อมในอนาคต

3.4 การสร้างแบบจำลองเพื่อศึกษาพัฒนาระบบขนส่งสินค้าด้วยระบบรถบรรทุก

3.4.1 การจำแนกเส้นทางการเดินรถด้วยวิธีความคล้ายคลึงของชุดคุณ (Jaccard Similarity)

(a) การสร้างเส้นทางที่เป็นไปได้ (Candidate Routes)

เริ่มจากการใช้ Google Maps เพื่อสร้างเส้นทางที่เป็นไปได้ระหว่างต้นทางและปลายทาง (OD pair) ซึ่งจะได้เส้นทางแนวนำทาง (Alternative Routes) และแปลงเป็นลำดับของรหัสถนน (Road ID) ที่รวมแนวโน้มไว้

(b) การจับคู่จุด GPS กับรหัสถนน (GPS Point Matching)

นำจุดพิกัด GPS ที่ได้จากการรถบรรทุกมาจับคู่กับถนนจริงบนโครงสร้างถนน โดยใช้ฟังก์ชัน sjoin_nearest จากไลบรารี GeoPandas ของ Python เพื่อระบุ Road ID ที่ใกล้ที่สุด โดยพิจารณาระยะทางที่เหมาะสม เพื่อลดผลกระทบจากลักษณะคลาดเคลื่อน

(c) การแมตช์เส้นทางจริงกับเส้นทางจำลอง (Path Matching)

เปรียบเทียบลำดับของ Road ID ที่ได้จาก GPS กับลำดับของแต่ละเส้นทางที่สร้างจาก Google Maps โดยใช้ตัวชี้วัดความคล้ายคลึงแบบ Jaccard (Jaccard Similarity Score) เพื่อประเมินว่าเส้นทางจริงใกล้เคียงกับเส้นทางจำลองได้มากที่สุด

3.4.2 การวิเคราะห์เส้นทางรถบรรทุกด้วยวิธี Machine Learning

เพื่อจำแนกพัฒนาระบบการเดินทางของรถบรรทุกบนเครือข่ายถนนในประเทศไทย โดยใช้เทคนิค Unsupervised Clustering เพื่อจัดกลุ่มเส้นทางที่มีลักษณะการใช้งานถนนคล้ายกัน โดยเริ่มจากการนำผลลัพธ์จากการวนการ Map-Matching มาแปลงให้อยู่ในรูปแบบ One-Hot Encoding ซึ่งแสดงว่าทริปใดใช้ถนนสายใดบ้าง จากนั้น ข้อมูลจะถูกนำเข้าสู่กระบวนการจัดกลุ่มด้วยอัลกอริทึม K-Means Clustering ที่ใช้เวลาเตอร์โบนารีของ การใช้งานถนนเป็นตัวแทนลักษณะของแต่ละทริป

ขั้นตอนการวิเคราะห์ประกอบด้วย:

(a) การเตรียมข้อมูลเดอร์ของการใช้งานถนน

(b) การเลือกจำนวนกลุ่มที่เหมาะสมด้วยวิธี Elbow Method

(c) การจัดกลุ่มด้วยอัลกอริทึม K-Means

(d) การตีความผลลัพธ์เชิงพัฒนาระบบการเดินทาง

ผลที่ได้สามารถสะท้อนลักษณะการใช้งานถนนหลักที่แตกต่างกันระหว่างกลุ่มรถบรรทุก ช่วยให้สามารถเข้าใจรูปแบบการเดินทาง และพัฒนาระบบการเดินทางสิ่งแวดล้อมได้อย่างมีประสิทธิภาพ

3.5 การวิเคราะห์ระยะทางโดยอาศัย GPS

งานวิจัยนี้ใช้ข้อมูลพิกัด GPS ที่บันทึกจากการเดินทางของรถบรรทุกแต่ละทริป เพื่อคำนวณระยะทางจริงบนพื้นผิวโลก (ground-truth distance) โดยไม่พึ่งพาแผนที่จากแหล่งภายนอก เช่น Google Maps ซึ่งอาจไม่สะท้อนเส้นทางที่เกิดขึ้นจริง

การวิเคราะห์ดำเนินการตามขั้นตอนดังนี้:

- (a) จัดกลุ่มข้อมูลตามรหัสทริป (trip_name) เพื่อแยกเล่นทางการเดินทางแต่ละรอบออกจากกัน
 - (b) เรียงลำดับข้อมูลตามเวลา (timestamp) เพื่อให้เล่นทางมีลำดับที่ถูกต้อง สะท้อนการเดลิเน็นที่จริง
 - (c) คำนวณระยะทางแบบจุดต่อจุด โดยใช้ไลบรารี geopy และพัkingชั้น geodesic() ที่อิงโงเดล WGS-84 เพื่อความแม่นยำในการคำนวณระยะทางเชิงภูมิศาสตร์ระหว่างพิกัดที่อยู่ติดกัน

สรุปผลลัพธ์ ในรูปแบบตารางที่แสดงรหัสทริป (trip_name),
ระยะทางรวม (GPSP2P_dist) และจำนวนจุดที่ใช้ในการคำนวณ
(num_points)

ผลลัพธ์จากการกระบวนการนี้สามารถใช้เปรียบเทียบความแม่นยำของระยะทางกับแหล่งข้อมูลอื่น และตรวจสอบความสมเหตุสมผลของพฤติกรรมการเดินทางที่ได้จากข้อมูล GPS จริง

3.6 การวิเคราะห์ปริมาณการบอนที่ปล่อยในปัจจุบัน

การคำนวณปริมาณการปล่อยก๊าซคาร์บอนไดออกไซด์ดำเนินการโดยใช้สมการมาตรฐานด้านโลจิสติกส์และสิ่งแวดล้อม ดังแสดงตัวอย่างในสมการที่ (2)

$$GE = \left(\sum_{i=1}^N D_i \right) \times L \times EF \quad (2)$$

โดยที่ $GE = \text{ปริมาณการปล่อยก๊าซคาร์บอนไดออกไซด์เที่ยบเท่า} (kgCO_2e)$, $N = \text{จำนวนเที่ยวเดินทางของรถบรรทุก}$, $D = \text{ระยะทางที่} \text{รถบรรทุกเต็มคันเดินทาง (km)}$, $L = \text{น้ำหนักบรรทุกเฉลี่ยต่อคันรถ} (\text{ตัน})$, $EF = \text{ปัจจัยการปล่อยคาร์บอน (เท่ากับ } 0.0852 \text{ kgCO}_2e/\text{ตัน} \cdot \text{กิโลเมตร})$

4 ผลการวิเคราะห์ข้อมูล

4.1 ผลการวิเคราะห์เส้นทางที่รับบรรทุกใช้

4.1.1 ผลการวิเคราะห์เส้นทางระบบธุรกิจด้วยวิธีเบรย์บเทียบความคล้ายคลึงของชุดข้อมูล

ในการวิเคราะห์เส้นทางการเดินทางของรถบรรทุก งานวิจัยได้ดำเนินการสุมเลือกและกรองข้อมูลพิกัด GPS ของรถบรรทุกตามเงื่อนไขดังนี้ทาง—ปลายทาง (OD pairs) ที่มีความสมมูลค่าและเชื่อถือได้ โดยผลจากการบันการดังกล่าวพบว่ามี OD pairs ที่สามารถนำมารวิเคราะห์ได้ทั้งหมดจำนวน 9 คู่ สำหรับแต่ละคู่ของเส้นทางพบว่ามี เส้นทางหลักที่รถบรรทุกใช้งานจริง 2–3 เส้นทาง โดยเส้นทางเหล่านี้จะท่อนถึงพฤติกรรมการเลือกเส้นทางของผู้ขับขี่ในสภาพแวดล้อมจริง

เพื่อวิเคราะห์และเปรียบเทียบรูปแบบการเดินทาง ระบบได้จัดเตรียมข้อมูลให้อยู่ในรูปแบบ GeoDataFrame สองค์ดุ ได้แก่

gdf_utm: ชุดข้อมูลพิกัด GPS ของถนนทุกชิ้นส่วนแปลงให้อยู่ในระบบพิกัด UTM เพื่อความแม่นยำในการวิเคราะห์เชิงพื้นที่

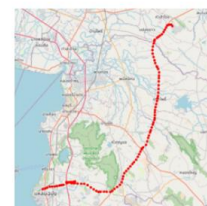
`polyline_data_wgs84`: ชุดข้อมูลโครงข่ายถนนในระบบพิกัด WGS84 ที่นำมาจากฐานข้อมูล OpenStreetMap หรือ Google

Maps สำหรับใช้อ้างอิงเป็นเส้นทางที่สามารถเดินทางได้ตามปกติ (Suggested route)

การวิเคราะห์ความคล้ายคลึงของเส้นทางทำได้โดยการนำเส้นทางเดินทางจริง (Actual route) มาซ้อนทับและเปรียบเทียบกับเส้นทางที่ระบบแนะนำหรืออนุมัติให้วิ่งได้ตามโครงข่ายถนน (Suggested route) โดยใช้เกณฑ์ด้านตำแหน่งเชิงพื้นที่ และรูปแบบของเส้นโค้งในการพิจารณา ตัวอย่างผลลัพธ์ดังแสดงในรูปที่ 2 ข้างต้น

เส้นทางหลัก	ผ่านถนนหมายเลข 331	ผ่านถนนหมายเลข 7
รูป		
เส้นทางย่อยที่ผ่าน	[741, 154, 738, 737, 739, 740]	[741, 2156, 699, 701, 700, 149, 150, 154]
ระยะทาง	100 km	94.3 km

Result:



รูปที่ 2 ตัวอย่างผลลัพธ์จากการเปรียบเทียบข้อมูลของคู่การเดินทาง
ระหว่าง นิคมอุตสาหกรรมเกดเวย์ดิตี้-ท่าเรือแหลมฉบัง

โดยจากการเบรี่ยบเทียบพบว่า เส้นทางการเดินทางของ
รถบรรทุกส่วนใหญ่มีความใกล้เคียงกับเส้นทางที่ระบบแนะนำ โดยมี
ความเมี้ยงเบนเล็กน้อยในบางกรณีซึ่งอาจเกิดจากการหลีกเลี่ยง
การจราจร จุดพัก หรือข้อจำกัดของถนนในช่วงเวลาอันนั้น

4.1.2 ผลการวิเคราะห์เส้นทางครอบคลุมทุกด้วย Unsupervised Learning (K-means)

เพื่อระบุจำนวนกลุ่มที่เหมาะสมในการจัดกลุ่มครอบรากุ ได้ทำการทดลองโดยใช้ค่า k ตั้งแต่ 2 ถึง จำนวนครอบรากุที่ว่างทั้งหมด และประเมินด้วยวิธี Elbow Method และ Silhouette Score

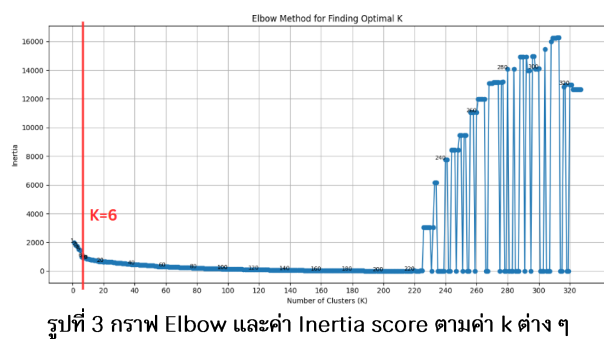
จากการประมวลผลด้วย K-means ด้วยค่า $k = 6$ สามารถจำแนกพฤติกรรมการเดินทางของรถบรรทุกออกเป็น 4 กลุ่ม โดยแต่ละกลุ่มนี้ลักษณะการใช้เส้นทางที่แตกต่างกันอย่างมีนัยสำคัญ ดังนี้:

กลุ่มที่ 1: ใช้งานคุณส่ายหลักในเขตเมืองเป็นหลัก

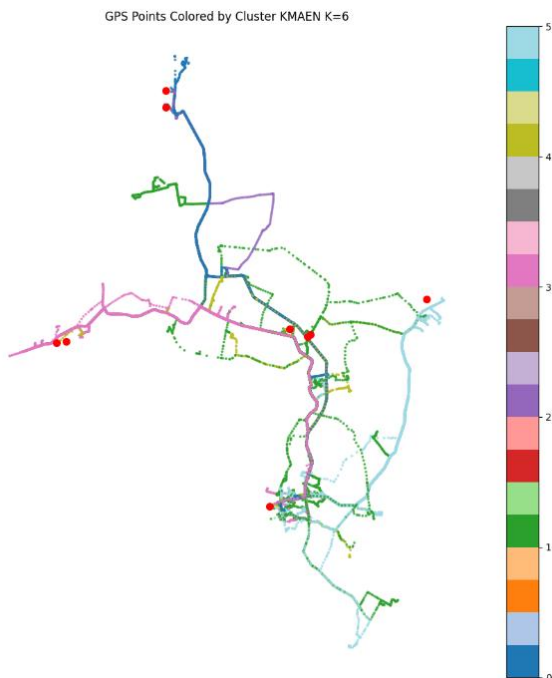
กลุ่มที่ 2: มีการร่วงรยะໄกผลกระทบว่างจังหวัด และใช้คุณลักษณะหลัก หล่ายเล่น

กลุ่มที่ 3: เดินรถในพื้นที่เฉพาะ เช่น วิ่งวนในนิคมอุตสาหกรรม หรือแหล่งกระจายสินค้า

กล่าวที่ 4: ลักษณะเฉพาะ วิ่งเลี้นทางซ้าย ๆ เพียงไม่กี่เลี้นทาง



รูปที่ 3 กราฟ Elbow และค่า Inertia score ตามค่า k ต่างๆ



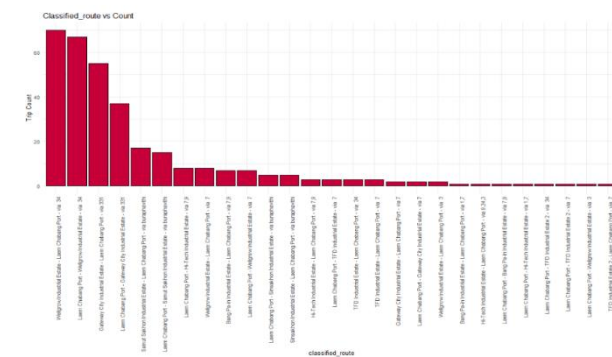
รูปที่ 4 แผนที่ผลลัพธ์ของรูปแบบการใช้คุณของแต่ละกลุ่ม

4.2 ผลการวิเคราะห์จำนวนเที่ยวของรถบรรทุก (Trip Count Analysis)

จากการประมวลผลพบว่า จำนวนเที่ยวของรถบรรทุกแต่ละคันมีความหลากหลาย โดยมีทั้งคันที่เดินรถเพียงไม่กี่เที่ยว ไปจนถึงคันที่มีจำนวนเที่ยวสูงมากในช่วงเวลาที่บันทึกข้อมูล ดังผลลัพธ์ที่แสดงในรูปที่ 5 ข้างต้น

classified_route	count
Wellgrow Industrial Estate - Laem Chabang Port - via 34	212
Laem Chabang Port - Gateway City Industrial Estate - via 331	184
Laem Chabang Port - Wellgrow Industrial Estate - via 34	168
Gateway City Industrial Estate - Laem Chabang Port - via 331	150
Hi-Tech Industrial Estate - Laem Chabang Port - via 7,9	60
Wellgrow Industrial Estate - Laem Chabang Port - via 7	53
Laem Chabang Port - Wellgrow Industrial Estate - via 7	46
Laem Chabang Port - Hi-Tech Industrial Estate - via 7,9	38
TFD Industrial Estate - Laem Chabang Port - via 7	28
Samut Sakhon Industrial Estate - Laem Chabang Port - via buraphavithi	27
Laem Chabang Port - Sinsakhon Industrial Estate - via buraphavithi	16
Wellgrow Industrial Estate - Laem Chabang Port - via 3	16
Laem Chabang Port - Samut Sakhon Industrial Estate - via buraphavithi	14
TFD Industrial Estate - Laem Chabang Port - via 34	13
Laem Chabang Port - TFD Industrial Estate - via 34	12
Laem Chabang Port - TFD Industrial Estate - via 7	12
Laem Chabang Port - Bang Pa-in Industrial Estate - via 7,9	8
Laem Chabang Port - Hi-Tech Industrial Estate - via 9,34,3	5
Laem Chabang Port - Wellgrow Industrial Estate - via 3	5
Sinsakhon Industrial Estate - Laem Chabang Port - via buraphavithi	5
Bang Pa-in Industrial Estate - Laem Chabang Port - via 7,9	4
Hi-Tech Industrial Estate - Laem Chabang Port - via 9,34,3	4
Laem Chabang Port - Hi-Tech Industrial Estate - via 1,7	4
Bang Pa-in Industrial Estate - Laem Chabang Port - via 9,34,3	3
Hi-Tech Industrial Estate - Laem Chabang Port - via 1,7	3
Laem Chabang Port - Bang Pa-in Industrial Estate - via 9,34,3	3
Laem Chabang Port - TFD Industrial Estate - via 3	3
Bang Pa-in Industrial Estate - Laem Chabang Port - via 1,7	1
Laem Chabang Port - Gateway City Industrial Estate - via 7	1
Laem Chabang Port - Samut Sakhon Industrial Estate - via 3	1
Laem Chabang Port - Sinsakhon Industrial Estate - via 3	1
Laem Chabang Port - TFD Industrial Estate - via 34	1
Samut Sakhon Industrial Estate - Laem Chabang Port - via 3,7	1

รูปที่ 5 แสดงการแจกแจงจำนวนเที่ยวของรถบรรทุกทั้งหมดแยกตามราย route

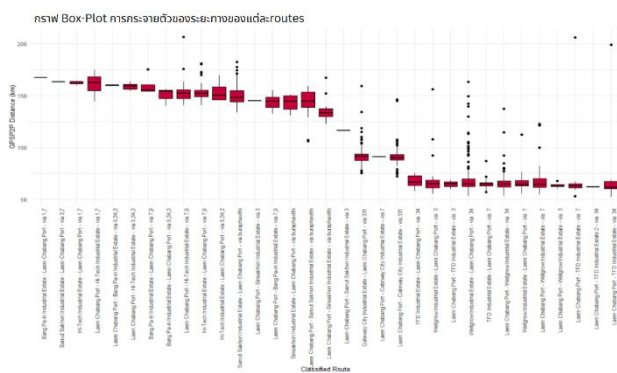


รูปที่ 6 Histogramการแจกแจงจำนวนเที่ยวของรถบรรทุก

พบว่ามีค่าอัตราการเดินทางที่ต่ำที่สุดอยู่ที่ 0.1% คือการเดินทางจาก Wellgrow Industrial Estate ไป Gateway City Industrial Estate ซึ่งเส้นทางหลักที่ใช้คือ Route 34 มีเที่ยวการเดินทาง 380 เที่ยว (ซึ่งคิดเป็น 34.5% ของการเดินทางทั้งหมด) และมีค่าอัตราการเดินทางเกตเวย์ซิตี้ (Gateway City Industrial Estate) ใช้เส้นทางหลักคือ Route 331 มีเที่ยวการเดินทาง 334 เที่ยว (ซึ่งคิดเป็น 30.3% ของการเดินทางทั้งหมด)

4.3 ผลการวิเคราะห์ระยะทางโดยอาศัยข้อมูล GPS

เส้นทางที่มีจุด Outlier เยอะกว่าเส้นอื่น ไม่ได้บวกกับเส้นทางนั้น ผลลัพธ์ดังได้มาด้วยการเพียงแค่มีจำนวน Trip การเดินทางที่เยอะกว่า โดย จุดOutlier บ่งบอกถึงรถบรรทุกที่บันบอนกอกเส้นทางOD ซึ่งโดยส่วนใหญ่จะมีพฤติกรรม ไปรับสินค้าจากที่อื่นก่อนจะกลับเข้าเส้นทางปกติ



รูปที่ 7 Boxplot การแจกแจงระยะทางของรถบรรทุกแต่ละคันแยกตามเส้นทาง

จากการวิเคราะห์พบว่า ค่าเบอร์เซ็นต์ความแตกต่างของระยะทางในแต่ละเส้นทาง เมื่อเปรียบเทียบระหว่างผลที่ได้จากการวิเคราะห์ข้อมูล GPS กับระยะทางที่แสดงใน Google Maps มีค่าความคลาดเคลื่อนอยู่ในช่วงระหว่าง -15% ถึง 25% ซึ่งอยู่ในช่วงที่สามารถยอมรับได้ทางสถิติและไม่ส่งผลกระทบต่อความน่าเชื่อถือของผลการวิเคราะห์ในภาพรวม



รูปที่ 8 ค่าทางสถิติของผลต่างระยะทางของรถบรรทุกแต่ละคันแยกตามเส้นทาง เทียบกับข้อมูล Google Map

4.4 ผลการวิเคราะห์ปริมาณคาร์บอนที่ปล่อยในการขนส่งทางถนน

ในขั้นตอนการคำนวณการปล่อยก๊าซคาร์บอนไดออกไซด์ เราใช้ผลลัพธ์ของ OD trips ร่วมกับข้อมูลระยะทาง โดยจะสมมุติค่าหน้าทึนเฉลี่ยของรถบรรทุกเท่ากับ 17.50 ตัน ซึ่งมาจากหน้าทึนของรถบรรทุกสิบล้อ เป็นล้อ 10 ตัน มาเฉลี่ยกับ หน้าทึนสูงสุดตามกฎหมายที่สามารถบรรทุกได้สำหรับรถสิบล้อ ซึ่งอยู่ที่ 25 ตัน และค่า Emission Factor จาก [ข้อมูลองค์กรบริหารจัดการรักษาระดับโลก\(TGO\)](#) (0.0454 kgCO2e/ton-km สำหรับรถบรรทุกประเภทสิบล้อ ได้ผลลัพธ์ดังรูปที่ 9

classified_route	Carbon emission per Trip (kgCO2e/trip)
Bang Pa-in Industrial Estate - Laem Chabang Port - via 1.7	132.84
Bang Pa-in Industrial Estate - Laem Chabang Port - via 7.9	127.11
Bang Pa-in Industrial Estate - Laem Chabang Port - via 9.34.3	119.37
Gateway City Industrial Estate - Laem Chabang Port - via 331	72.09
Hi-Tech Industrial Estate - Laem Chabang Port - via 1.7	128.88
Hi-Tech Industrial Estate - Laem Chabang Port - via 7.9	121.71
Hi-Tech Industrial Estate - Laem Chabang Port - via 9.34.3	122.26
Laem Chabang Port - Bang Pa-in Industrial Estate - via 7.9	114.27
Laem Chabang Port - Bang Pa-in Industrial Estate - via 9.34.3	127.34
Laem Chabang Port - Gateway City Industrial Estate - via 331	72.00
Laem Chabang Port - Gateway City Industrial Estate - via 7	72.27
Laem Chabang Port - Hi-Tech Industrial Estate - via 1.7	127.85
Laem Chabang Port - Hi-Tech Industrial Estate - via 7.9	122.32
Laem Chabang Port - Hi-Tech Industrial Estate - via 9.34.3	126.26
Laem Chabang Port - Samut Sakhon Industrial Estate - via 3	92.58
Laem Chabang Port - Samut Sakhon Industrial Estate - via buraphavithi	112.29
Laem Chabang Port - Sinsakhon Industrial Estate - via 3	115.35
Laem Chabang Port - Sinsakhon Industrial Estate - via buraphavithi	107.92
Laem Chabang Port - TFD Industrial Estate - via 3	51.31
Laem Chabang Port - TFD Industrial Estate - via 34	58.03
Laem Chabang Port - TFD Industrial Estate - via 7	58.87
Laem Chabang Port - TFD Industrial Estate 2 - via 34	49.36
Laem Chabang Port - Wellgrow Industrial Estate - via 3	50.62
Laem Chabang Port - Wellgrow Industrial Estate - via 34	52.45
Laem Chabang Port - Wellgrow Industrial Estate - via 7	54.15
Samut Sakhon Industrial Estate - Laem Chabang Port - via 3.7	129.86
Samut Sakhon Industrial Estate - Laem Chabang Port - via buraphavithi	120.89
Sinsakhon Industrial Estate - Laem Chabang Port - via buraphavithi	113.29
TFD Industrial Estate - Laem Chabang Port - via 34	52.79
TFD Industrial Estate - Laem Chabang Port - via 7	51.59
Wellgrow Industrial Estate - Laem Chabang Port - via 3	58.19
Wellgrow Industrial Estate - Laem Chabang Port - via 7	54.80
Wellgrow Industrial Estate - Laem Chabang Port - via 7	52.55

รูปที่ 9 การปล่อย CO₂ ต่อเที่ยวเดินทางแยกตามราย route

หลังจากได้ข้อมูลการปล่อยcarbon สำหรับแต่ละคู่ OD แยกตามราย route ได้นำข้อมูลเหล่านี้เพื่อมาหาว่าการวิ่งในเส้นทางไหน (route) ในแต่ละคู่ OD ที่จะมีการปล่อยcarbon น้อยที่สุด ดังแสดงผลลัพธ์ของรูปที่ 10 ข้างต้น

OD	Low carbon_route	Carbon emission per Trip (kgCO2e/trip)
Bang Pa-in Industrial Estate - Laem Chabang Port	via 9.34.3	119.37
Laem Chabang Port - Bang Pa-in Industrial Estate	via 7.9	114.27
Hi-Tech Industrial Estate - Laem Chabang Port	via 7.9	121.71
Laem Chabang Port - Hi-Tech Industrial Estate	via 7.9	122.32
Samut Sakhon Industrial Estate - Laem Chabang Port	via Burapha Withi	120.89
Laem Chabang Port - Samut Sakhon Industrial Estate	via 3	92.58
Sinsakhon Industrial Estate - Laem Chabang Port	via Burapha Withi	113.29
Laem Chabang Port - Sinsakhon Industrial Estate	via Burapha Withi	107.92
Wellgrow Industrial Estate - Laem Chabang Port	via 7	52.55
Laem Chabang Port - Wellgrow Industrial Estate	via 3	50.62
Gateway City Industrial Estate - Laem Chabang Port	via 331	72.00
Laem Chabang Port - Gateway City Industrial Estate	via 331	72.00
TFD Industrial Estate - Laem Chabang Port	via 3	51.59
Laem Chabang Port - TFD Industrial Estate 2	via 34	51.31
Laem Chabang Port - TFD Industrial Estate	via 7	49.36

รูปที่ 10 สรุป Low-carbon route สำหรับแต่ละคู่ OD

หมายเหตุ คู่ OD ที่ตัวหนังสือเป็นสีแดงคือคู่ OD ที่มีการเดินทางของรถบรรทุกเส้นทางเดียว จึงไม่มีเส้นทางอื่นเปรียบเทียบ

5 บทสรุป

5.1 สรุปผลการศึกษา

การวิเคราะห์จากข้อมูล GPS ช่วงวันที่ 12–18 ตุลาคม 2566 พบ ข้อมูลทั้งหมดกว่า 286 ล้านแคว โดยผ่านการคัดกรองเหลือ 52,319 แคว คิดเป็นจำนวนเที่ยวบนสั่ง 1,102 เที่ยว

นิคมอุตสาหกรรมที่มีการเดินทางไปยังท่าเรือแหลมฉบังมากที่สุดคือ นิคมอุตสาหกรรมเวลโกร์ (501 เที่ยว) และ นิคมอุตสาหกรรมเกตเวย์ชิตี้ (335 เที่ยว) รวมกันคิดเป็น 76% ของการ

เดินทางทั้งหมด ซึ่งสามารถอธิบายได้จาก 3 ปัจจัยหลัก ได้แก่ (1) ทำเลที่ตั้งบนแนวทางโลจิสติกส์หลัก (EEC Corridor) (2) ประเภท อุตสาหกรรมที่พึ่งพาการขนส่งทางเรือ และ (3) ความพร้อมด้าน โครงสร้างพื้นฐานด้านการขนส่ง

นอกจากนี้ ยังพบว่าเส้นทางหลักที่ใช้ในการเดินทางจากทั้งสอง นิคม ได้แก่ Route 34 (เวลโกร์ว) และ Route 331 (เกตเวย์ชิตี้) เป็นเส้นทางที่มีแนวโน้มเป็น Low-carbon route ซึ่งช่วยลดการ ปล่อยคาร์บอนได้มากกว่าเมื่อเทียบกับเส้นทางทางเลือกอื่น

5.2 ข้อจำกัดของงานวิจัย

แม้จานวนวิจัยนี้จะสามารถวิเคราะห์พฤติกรรมการเดินทางของ รถบรรทุกและระบุเส้นทางที่มีแนวโน้มลดการปล่อยคาร์บอนได้ แต่ ยังคงมีข้อจำกัดบางประการที่อาจส่งผลต่อความแม่นยำของผลลัพธ์ ดังนี้ (1) ไม่มีข้อมูลน้ำหนักบรรทุกของรถแต่ละคัน: การขาดข้อมูล น้ำหนักบรรทุกทำให้ไม่สามารถสะท้อนความหลากหลายของการ งานในเดลต์เที่ยววิ่งได้อย่างครบถ้วน ทั้งที่น้ำหนักบรรทุกมีผลต่อ อัตราการลิ้นเปลือยเพิ่มหรือลดลงและการปล่อยก๊าซคาร์บอนไดออกไซด์ อย่างมีนัยสำคัญ และ (2) ไม่มีการคำนวณปัจจัยด้านสภาพอากาศ และระยะเวลาเดินทาง: การคำนวณค่าการปล่อยคาร์บอนในงานวิจัย นี้ยังไม่ได้รวมปัจจัยแวดล้อมที่สำคัญ เช่น ความแปรผันของภาระ หรือเวลาที่ใช้ในการเดินทาง ซึ่งอาจทำให้ค่าที่ได้คลาดเคลื่อนจาก สภาพการใช้งานจริง

5.3 ข้อเสนอแนะสำหรับการวิจัยในอนาคต

เพื่อเพิ่มความครบถ้วนและแม่นยำในการวิเคราะห์ รวมถึงการ ประยุกต์ใช้ผลการศึกษาที่ได้มาใช้ในการตัดสินใจ ให้สามารถ ประเมินผลกระทบต่อสิ่งแวดล้อมได้แม่นยำขึ้น จึงแนะนำ (1) การจัดเก็บข้อมูลน้ำหนักบรรทุกของแต่ละเที่ยววิ่ง: ควรมีการบูรณาการ ข้อมูลน้ำหนักบรรทุกเข้ากับข้อมูล GPS เพื่อเพิ่มความแม่นยำใน การคำนวณค่าการปล่อยคาร์บอนต่อตัน-กิโลเมตร (ton-km) ซึ่ง เป็นหน่วยมาตรฐานที่ใช้ในอุตสาหกรรมโลจิสติกส์ และ (2) การศึกษาความเป็นไปได้ของ การขนส่งแบบผสมผสาน (Multimodal Transport): ควรมีการวิเคราะห์ศักยภาพของการ เปลี่ยนรูปแบบการขนส่ง (Modal Shift) เช่น จากถนนไปสู่ทางราง หรือรูปแบบการเชื่อมต่อหล่ายโลหะ เพื่อสนับสนุนแนวทางการ ขนส่งที่ปล่อยคาร์บอนต่ำและยั่งยืนมากยิ่งขึ้น

เอกสารอ้างอิง

- [1] Akter, Taslima, and Sarah Hernandez. 2022. "Representative truck activity patterns from anonymous mobile sensor data." *Transportation Research Part C: Emerging Technologies*.
- [2] Siripirote, T., and A. Sumalee. 2020. "Statistical estimation of freight activity analytics from Global Positioning System data of trucks." *Transportation Research Record: Journal of the Transportation Research Board*.
- [3] Dabiri, Sina, and Kevin Heaslip. 2018. "Inferring mode of travel using convolutional neural networks on GPS trajectories." *Transportation Research Part C: Emerging Technologies*.
- [4] Jagadeesh, G. R., T. Srikanthan, and X. D. Zhang. 2004. "A map matching method for GPS-based real-time vehicle location." *Journal of Navigation*.
- [5] Rappos, Efstratios, Stephan Robert, and Philippe Cudre-Mauroux. 2018. "A force-directed approach for offline GPS trajectory map matching." In *Proceedings of the 26th ACM SIGSPATIAL International Conference*.
- [6] Yang, Jian, and Ligu Meng. 2014. "Feature selection in conditional random fields for map matching of GPS trajectories." In *Progress in Location-Based Services*.
- [7] Regmi, M., and Hanaoka, S. 2010. "A survey on impacts of climate change on road transport infrastructure and adaptation strategies in Asia." *Transportation Research Part A: Policy and Practice*. Available at: https://www.researchgate.net/publication/225887118_A_survey_on_impacts_of_climate_change_on_road_transport_infrastructure_and_adaptation_strategies_in_Asia.
- [8] Vierth, I., and Cullinane, K. 2023. "The impact of weight restrictions and rail freight incentives on carbon emission reduction in Sweden." *Transportation Policy* 142:125-136. DOI: 10.1016/j.tranpol.2023.125136.
- [9] Zhu, L., Liu, Z., and Jian, W. 2023. "Using carbon tax policies to reduce CO₂ emissions in freight transport: A case study on Yiwu-Ningbo container transport route in China." *Transportation Research Record: Journal of the Transportation Research Board*. DOI: 10.1177/03611981231160538.
- [10] Nguyen, H. A., Soltani, A., and Allan, A. 2018. "Adelaide's East End tramline: Effects on modal shift and

carbon reduction." *Transportation Research Part A: Policy and Practice.*

- [11] Duan, L., Hu, W., Deng, D., Fang, W., Xiong, M., Lu, P., Li, Z., and Zhai, C. 2021. "Energy-saving measures and carbon emissions control in urban road transport: A case study in Chongqing, China." *Energy Research.* DOI: 10.1016/j.enres.2021.12.012.
- [12] Regmi, M., and Hanaoka, S. 2015. "Assessment of modal shift and emissions along a freight transport corridor between Laos and Thailand." *Transport Policy.*
- [13] Phadungsri, D. 2022. "Freight transportation demand and sustainable solutions in Thailand." *International Journal of Logistics Research and Applications*